

土壤改良劑인 Zeolite에 依한 磷의 吸着

崔 咸

慶北大學校 農科大學 農化學科
(1982년 3월 15일 수리)

P^{32} Adsorption on Na-zeolite in Different Ionic Strengths

Jyung Choi

Faculty of Agriculture, Kyungpook National University, Tae-Gu, Korea

Abstract

Natural zeolite rock was pulverized and dispersed in water. Clay fraction was collected by sedimentation method. The dominant clay mineral was Clinoptiolite with some Mordenite and Smectite. P^{32} adsorption on Na-zeolite was determined in different ionic strengths using P^{32} isotope by sludge method.

The lower the pH of suspension, the longer the contact time, and the more the amount of zeolite, the more inorganic P was adsorbed by Na-zeolite, whereas the more P adsorption per unit gram of zeolite was observed at a 100mg addition than a 200mg in same volume of P-NaCl solution (20ml), indicating that the whole positively charged surface of Na-zeolite was not occupied by inorganic P. Furthermore, the more P adsorption on Na-zeolite was observed in higher ionic strength than in the lower. The maximum P adsorption on Na-zeolite was about 1me/g, and the zero point charge (ZPC) is assumed to be below pH 3.7.

緒 言

磷은 植物生育에 필수적인 多量要素이나 施肥한磷의 상당량은 土壤 中에서流失되거나 吸着固定되어 植物이 利用할 수 없게 되므로 土壤 内에서의 磷의 行動에 對한 研究는 國內外에서 활발히進行되어 왔다. 특히 热帶地方의 土壤처럼 철분과 알미늄 함량이 높은 土壤과 磷의 吸脫着과의 관계를 調查한 報文은 아주 많다.^{1,2,5,7,14,15,17)} P는 土壤中에서 Al_2O_3 및 Fe_2O_3 와 같은 유리산화물과 반응하여 吸着 또는 固定되어 無效態磷으로 되므로

로 P의 肥效에 크게 影響을 준다. 그러나 규산염 점토광물은 거의 대부분의 경우 陰荷電量이 陽의荷電量에 比해 훨씬 많으므로 규산염 점토광물과 P와의 반응을 연구한 報文은 比較的 적은 편이다. 더욱기 규산염 점토광물 중에서 주로 Kaolinite나 Halloysite 같은 1:1 광물에 대한 研究^{9,10,11)}가 대부분이며 永久陰電荷가 큰 점토광물에 대한 P의 吸着關係를 調査한 報文은 거의 없다.

筆者等¹⁸⁾에 依하여 zeolite 含有 硬灰岩粉末은 砂質土壤의 土壤改良劑로서 用途가 밝혀졌으며 또複合肥料 製造의 增量劑로 使用되므로 zeolite와 P와의 關係를 分明히 하는 것은 資源의 効率의 活

* 이 논문은 1981년도 문교부 학술연구조성비에 의하여 연구되었음.

用이란側面에서 볼때 意味가 크다고 하겠다. 따라서 우리나라에 매장량이 풍부하고 염기치환용량과 보수력이 커서 砂質土壤 改良에 優秀한 zeolite를 택하여 방사성 同位元素인 P^{32} 를 利用하여 3농도의 NaCl 용액 중에서 P의 吸着現象을 調査한結果가 나왔기에 報告하는 바이다.

材料 및 方法

Na-Zeolite의 調製: 慶北 月城產 含 Zeolite 凝灰岩 粉末을 H_2O_2 處理하여 有機物을 分解시키고 혼탁액을 만들어 8시간 후에 10cm 깊이에서 syphon으로 혼탁액을 모은 다음 NaCl을 添加하여 침전된部分을 증류수로 數回 洗滌하였다. visking cellulose membrane tube에 혼탁액을 넣고 Cl^- 이 검출되지 않을 때 까지 透析하였다. water bath에서 일차 蒸發 乾燥시킨후 ($80^\circ C$) 다시 $105^\circ C$ 로 處理, 乾燥시켜 Na-zeolite 試料로 하였다.

P^{32} 溶液: 元來 試藥인 $5,000\mu M$ $NaH_2P^{32}O_4$ 溶液의 방사능은 $10m Curie/l$ 있으므로 同一농도의 NaH_2PO_4 용액으로 방사능을 회복하여 本實驗의 P^{32} 原液으로 하고 실험直前에 각 농도의 NaCl 용액으로 회복하여 사용하였다.

Adsorption: Na-Zeolite 200mg을 $50ml$ polyethylene 두껑이 달린 원심관에 精秤해 넣고 각 농도별 NaCl- P^{32} 溶液을 $20ml$ 씩 添加하여 $20^\circ C$ 航온실에서 왕복진탕기 (80 strokes/min)로 40시간 진탕하였다. 고속원심기에서 $8,000 rpm$ 으로 10分間 원심분리시켜 上澄液을 取하여 pH를 측정하고 $5ml$ 을 取하여 scintillation counter로 방사능을 측정하였다. 原液의 放射能과 비교하여 減少된 量을 P의 吸着量으로 하였다.

Zeolite의 表面荷電: 200mg 試料를 廣口 $50ml$ polyethylene 병에 넣고 농도별 NaCl 용액으로 회복한 $500\mu M$ 용액 $40ml$ 을 添加하고, 0.1N-HCl을 사용 조절한 다음 pH 3~4로 一夜 放置하였다. Radiometer DTS 833 Recording Autotitration System을 利用하여 pH unit/10min의 속도로 0.2N NaOH로 자동 측정하였다.

Zeolite 同定 및 測定: 凝灰岩 粉末에서 分離한 粘土는 X-線 回折分析, 示差熱分析, 赤外線分光分析 및 전자현미경으로 確認하였으며 比表面積은 BET-N₂ 吸着法으로 求하였다. Zeolite의 理化學的 性質은 土壤學實驗노트¹⁹⁾에 準하여 조사했으며 그 結果는 Table 1, 2와 같았다.

結果 및 考察

Zeolite의 同定 및 比表面積: 國內 含 Zeolite 凝灰岩은 火山帶가 지나는 濟州道에서 울릉도를 거쳐 개마고원으로 연결되는 地域에 分布되어 있다.²⁰⁾ 慶北의 遇日 및 月城郡 一帶의 山地에는 그 매장량이 풍부하다. 本 實驗用의 月城產에서 분리한 粘土에 대해 X-線回折分析을 行한 結果는 Fig. 1과 같았다.

X-線回折分析은 結晶質 粘土礦物 同定에 널리 쓰이는 方法이며 zeolite와 같이 特殊構造를 갖는 것의 同定에는 편수적인 方法이다. zeolite의 特徵을 뚜렷이 나타내는 peak는 없으나 主로 $8\sim9\text{\AA}$ 과 4.07\AA 및 3.02\AA 에 特徵지을 peak가 있다. Fig. 1에서 보면 9.1\AA 에 약한 特징적 peak가 있고 4.07\AA 과 3.20\AA 에 아주 강한 peak가 나타나 있다. 3.20\AA 은 quartz에 依한 것이고 4.07\AA 은 Zeolite의 peak로 推定되며 14\AA 부근의 雖은 peak는

Table 1. Physicochemical properties of Zeolite

Sample	pH	Exchangeable cations (me/100g)				C.E.C. me/100g
		K	Na	Ca	Mg	
8.8		30.6	24.1	58.4	10.9	76

Table 2. Chemical composition of Zeolite rock

Sample	SiO ₂	Al ₂ O ₃	CaO	K ₂ O	Na ₂ O	Fe ₂ O ₃	1g. loss
	62.5	15.4	2.89	1.85	0.65	1.14	15.4

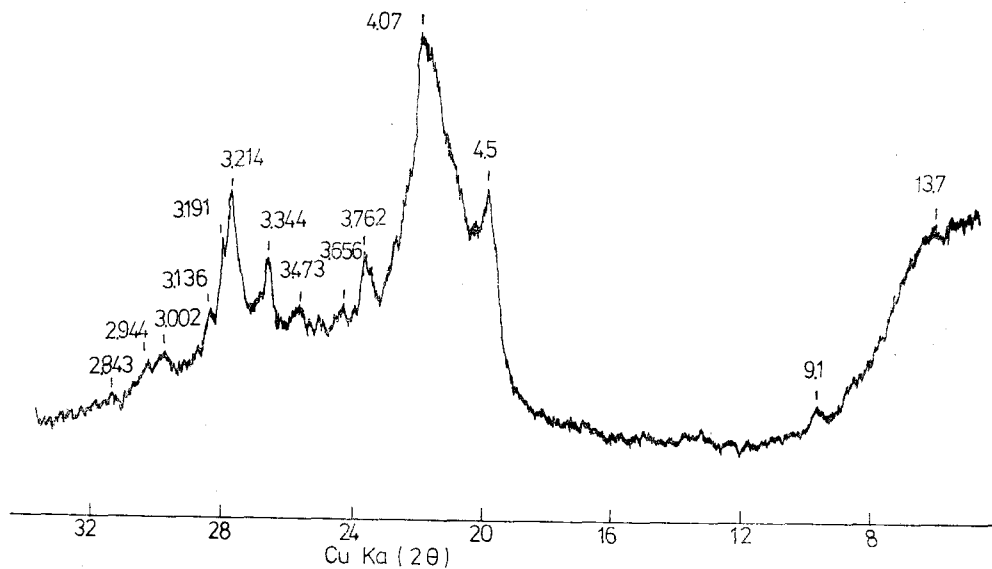
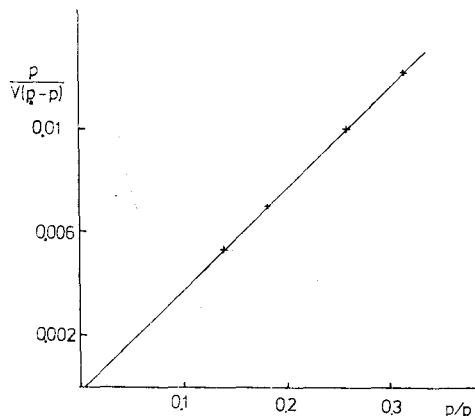


Fig. 1. X-ray diffraction pattern of Zeolite

smectite가 混在한 탓으로 여겨진다. Mumpton,¹²⁾ Bramlette Posnjak¹⁴⁾은 硫灰岩이 热과 壓力으로 变化를 받으면 montmorillonite가 共存할 수 있다 고 報告했다. 本試料에도 少量의 smectite가 含有된 것으로 推定되며 Fig. 1의 結果를 Zeolite 標準品의 X-線回折圖¹²⁾ 및 X-線回折 Data^{21,22)}와 比較해 보면 clinoptiolite가 主로 粘土礦物이고 少量의 smectite가 含有되어 있는 것 같다. 다른 方法으로 確認한 結果 clinoptiolite>mordenite>smectite로 考察된다. Zeolite 表面積은 105°C로 전열 조조한 試料에 N₂ gas를 吸着시켜 N₂ 分壓을 조사

Fig. 2. BET-N₂ adsorption isotherm on Na-zeolite

하여 BET式으로 계산하였다(Fig. 2 참조). graph 上의 4點은 直線 위에 있었으며 계산 결과 表面積은 111m²/g 이었다.

Zeolite 表面荷電: 500μMP가 되게 한 3 농도의 NaCl 용액 40ml에 200mg의 Na-zeolite를 혼탁시키고 HCl로 pH 3~4되게 조절한 다음 0.2N NaOH

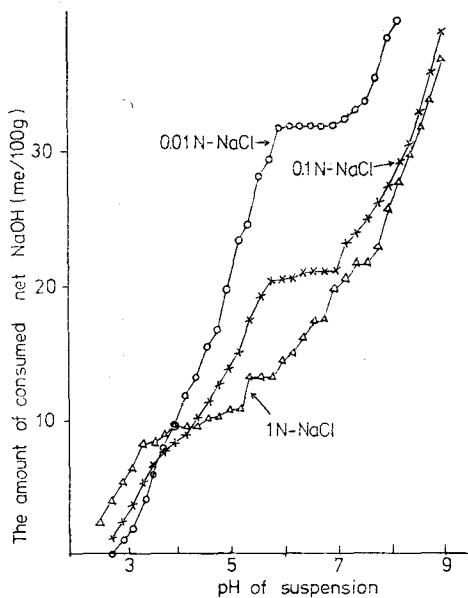


Fig. 3. Charge-pH curves of Na-zeolite determined in NaCl

용액으로 대기 중에서 측정하여 zeolite 단에 의하여 소모된 NaOH 량을 측정한 결과는 Fig. 3과 같았다.

현탁액에서 Na-zeolite의 總表面荷電密度(σ_T)는 永久荷電密度(σ_p)와 pH 依存荷電密度(σ_v)로 나타낼 수 있다. 即 $\sigma_T = \sigma_p + \sigma_v$ 이다. 試料의 CEC 가 76me/100g 임으로 (Table 1) σ_T 는 σ_v 의 변화에 따라 달라지게 된다.

Fig. 3에서 보면 pH 3.7에서 NaCl 0.1N 과 0.01N, pH4 부근에서 0.01N 과 1N 꼭선이 각자 接點을 이룬다. 이 pH 부근에서는 zeolite 表面에 흡착되는 $[H^+]$ 및 $[OH^-]$ 의 량은 비슷해질 것이며 ZPC가 생길 것으로 추리되어 이 pH 이하에서는 점토표면은 陽으로 荷電할 것이다.

van Raij와 Peech¹⁶⁾에 依하면 一定 pH에서 H^+ 나 OH^- 의 흡착량은 전해질용액 단의 pH를同一한 pH까지 가져가는 데 첨가한 HCl이나 NaOH 량과同一하다. 따라서 흡착밀도 $[T_{H^+} - T_{OH^-}]$ 를 현탁액의 pH에 대해 plot 할 경우 전해질농도가 다른 현탁액 중에서 charge-pH 꼭선은 만나게 되며 이 때의 pH를 Zero Point Charge (ZPC)라고 한다.¹³⁾

pH 5~7 범위에서 pH는 계속 증가하나 NaOH의 소비는 거의 없는 부분이 있는데 이는 유리되는 OH^- 의 농도가 거의 一定한 틈으로 보이며 전해질이 높으면 저농도에 비해 낮은 pH 쪽에 생겨난다. 이것은 교질이 중층의 두께가 서로 다르기 때문에 충분한 반응시간을 부여치 않은 상태에서 반응속도에 차이가 있었다고 考察된다.

無機 P의 吸着: 土壤溶液의 P 농도는 시비가 충분할 경우 $10^{-5}M \sim 10^{-4}M$ 일 수도 있다. 따라서 본 실험에서는 $400\mu M$ 용액을 첨가농도로 하여 반응시간에 따른 P의 흡착량을 조사했다(Fig. 4).

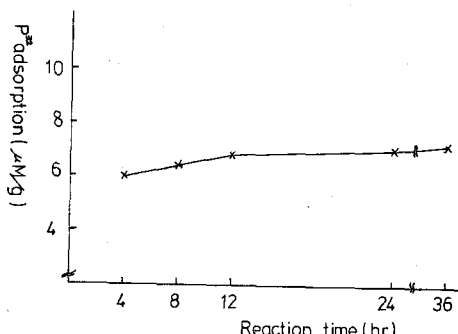


Fig. 4. The effect of reaction time on P^{32} adsorption on Na-zeolite (Initial concentration $400\mu M$)

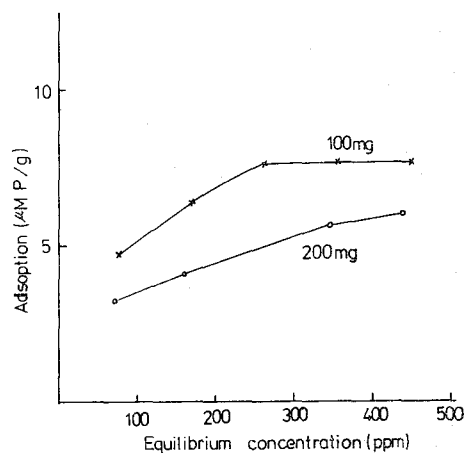


Fig. 5. Effect on solution: sample ratio on the ratio of P adsorption by Zeolite in 0.1N NaCl solution

Zeolite에 흡착한 P 량은 반응시간이 길수록 증가하였으나 24와 36時間間에 큰 差가 없었다. Ryden 等¹⁴⁾은 반응시간이 길어지면 上澄液 中의 P 농도가 減少한다고 했으며 Barrow와 Shaw³⁾는 토양과 P 용액의 비율이 클수록 반응시간에 대한 흡착량의 변화는 적어진다고 했다. 따라서 본실험에서는 $20^\circ C$ 恒溫에서 40시간 진탕반응하였다.

試料量의 영향: 各농도의 P를 함유하는 0.1N NaCl 용액 20ml에 Zeolite 試料 100mg 및 200mg 을 현탁시키고 pH 7이 되게 조정한 후同一 조건으로 반응시켜 흡착량을 측정하였다(Fig. 5).

100mg 첨가에 비해 200mg 첨가는 上澄液中 P 농도를 더욱 감소시켰다. 試料量의增加는 表面積의增加를 의미함으로 당연한 鑑結이라 하겠다. 그러나 單位重量當吸着量은 시료량이 적을수록 증가된다. 이는 40시간의 진탕은 충분한 반응시간이 되지 못함을 示唆한다.

토양시료: 용액의 比率이 크면 P의 흡착이 빨라지고^{3, 6)} 단위중량당 흡착량은 비율이 클수록 적어진다⁸⁾는 결과와 일치한다.

pH의 영향: 각농도의 P를 함유하는 0.1N NaCl 용액에 試料를 첨가하고 pH를 4~10으로 조정하였다. 반응 후 원심분리한 上澄液의 pH와 P 함량을 측정하여 첨가농도에서 감소된 량을 P吸着量으로 하였다. Fig. 6은 40시간 반응 후의 pH와 P 흡착량을 나타낸 결과이다.

pH가 커지면 첨가한 P 농도에 관계 없이 P 흡

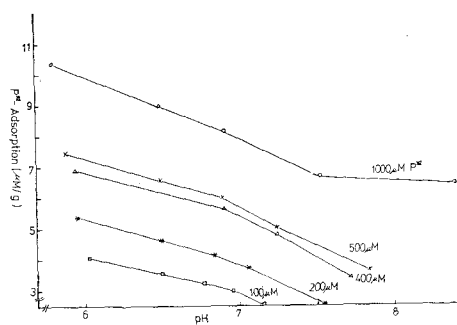


Fig. 6. The effect of pH on P^{32} adsorption on Na-zeolite

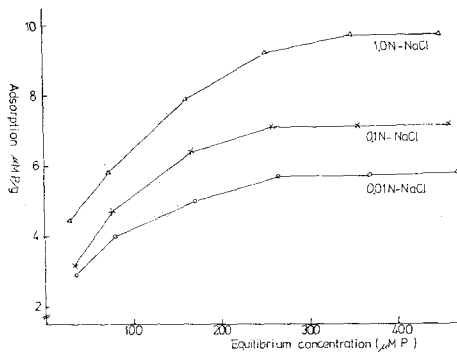


Fig. 7. P^{32} adsorption on Na-zeolite in different ionic strengths

작량은 감소했다. Zeolite의 表面은 pH 6~7 범위에서 계속 OH⁻의 放出이 있었음으로 (Fig. 3 참조) 이는 $H_2PO_4^-$ 와 表面의 OH⁻가 置換되어 일어나는 것으로 고찰된다. 또 pH가 低下하면 zeolite 表面에 陽電荷가 增加하고, 上昇하면 陰電荷가 增加함으로 pH 變化에 따른 P吸着量의 變化는 靜電氣現象으로 간주된다. 이때 Cl⁻과 $H_2PO_4^-$ 간에 경쟁적 흡착은 일어나지 않는다.

Ionic strength의 영향: 서로 다른 ionic strength에서 zeolite에 의한 P흡착량 변화를 조사하기 위해 각농도의 P를 함유하는 0.01N, 0.1N 및 1N의 NaCl 용액에 100mg의 Na-zeolite를 첨가하여 흡착실험을 하였다 (Fig. 7).

40시간의 진탕 범위 내에서는 P농도가同一할 지라도 전해질의 농도가 클수록 흡착량이 증가했으며同一농도의 전해질일 경우 흡착량의 계속적 증가는 둔화되었다. 이는 혼탁된 zeolite 입자의 노출된 荷電表面을 P가 거의 대부분 점유한

탓으로 여겨진다. 또 ionic strength가 커지게되면 zeolite 표면 주위의 확산 이증층이 작아져서 $H_2PO_4^-$ 가 Helmholtz 표면에 가까이 接近됨으로 흡착이 容易해지기 때문이다. zeolite에 의한 P의 最大吸着量은 pH 7의 1N-NaCl 용액 중에서 약 10μM/g로서 음이온 치환 용량이 1me/g임을 보여 준다.

摘要

天然 zeolite를 分離하여 同定한 後 Na^+ 로 포화시키고 3가지 농도의 NaCl 용액 中에서 P吸着現象을 P^{32} 同位元素를 利用하여 調査하였다. Na-zeolite에는 pH가 낮을수록, 反應時間이 길수록 또 試料量이 많을수록 P吸着量이 增加했으며 試料와 溶液의 比率이 작은 편이 單位重量當吸着量이 많았다. 電解質 농도가 클수록 P의吸着量이 늘었으며 最大吸着量은 1me/g 程度였으며 Na-zeolite의 ZPC는 pH 3.7 以下일 것으로 推定된다.

参考文獻

1. Barrow, N.J.: J. Soil Sci., 30:271 (1979)
2. Barrow, N.J. and Shaw, T.C.: Soil, 119:167 (1975)
3. Barrow, N.J. and Shaw, T.C.: J. Soil Sci., 30:67 (1979)
4. Bramlette, M.N. and Posnjak, E.: Am. Mineralogist 18:167 (1933)
5. Colwell, J.D. and Donnelly, J.D.: Aust. J. Soil Res., 9:43 (1971)
6. Fordham, A.W.: ibid, 1:144 (1963)
7. Fox, R.L., Plucknett, D.L. and Whitney, A.S.: Trans. Int. Congr. Soil Sci. 9th Vol. 2:301 (1980)
8. Hope, G.D. and Syers, J.K.: J. Soil Sci., 27:301 (1976)
9. Low, P.F. and Black, C.A.: Soil Sci., 70:273 (1950)
10. Kafkafi, U., Posner, A.M. and Quirk, J.P.: Soil Sci. Soc. Amer. Proc. 31:348 (1967)
11. Muljadi, D., Posner, A.M. and Quirk, J.P.: J. Soil Sci., 17:212 (1966)
12. Mumpton, F.A.: Am. Mineralogist, 45:351 (1960)

13. Parks, G.A. and De Bruyn, L.P.: J. Phys. Chem., 66:967 (1962)
14. Ryden, J.C., Syers, J.K. and McLaughlin, J.R.: J. Soil Sci., 28:62 (1977)
15. Singh, B.B. and Jones, J.P.: Plant and Soil, 46:31 (1977)
16. Van Raij, B. and Peech, M.: Soil Sci. Soc. Am. Proc., 36:587 (1972)
17. William, C.H.: Aust. J. Soil Res., 9:83
18. 張南日·崔 墅·張淳德: 農村科學, 1:47 (1978)
19. 青峰重範·原田登五郎: 土壤學實驗ノート, 養賢堂(1975)
20. 樂相旭·金冕燮: 韓國產 Zeolite의 그用途에 關하여 : print 物
21. 漢秀雄·高野幸雄: 粘土科學, 4:12 (1963)
22. 本多朔郎·根岸敏雄: ibid, 7:22 (1968)